

## پاسخ مسئله‌ها

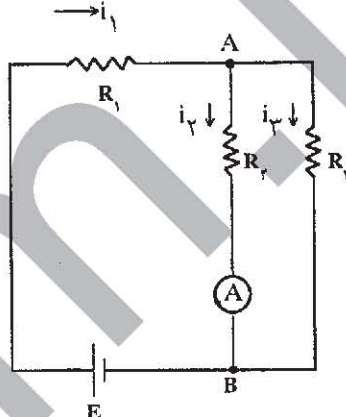
۱ - در شکل (۱۱ - ۵)، مدار در حالت اول نشان داده شده است.

الف - با توجه به اینکه مقاومت درونی مولد و آمپرسنچ ناچیز است، در این مدار داریم:

$$E = i_1 R_1 + i_2 R_2$$

$$i_2 R_2 = i_3 R_3$$

$$i_1 = i_2 + i_3$$



شکل (۱۱ - ۵)

با حل معادله‌های بالا داریم:

(۱ - ۵)

$$i_1 = \frac{R_2 + R_3}{R_1 R_2 + R_2 R_3 + R_3 R_1} E$$

$$i_2 = \frac{R_3}{R_1 R_2 + R_2 R_3 + R_3 R_1} E \quad (۲ - ۵)$$

$$i_3 = \frac{R_2}{R_1 R_2 + R_2 R_3 + R_3 R_1} E \quad (۳ - ۵)$$

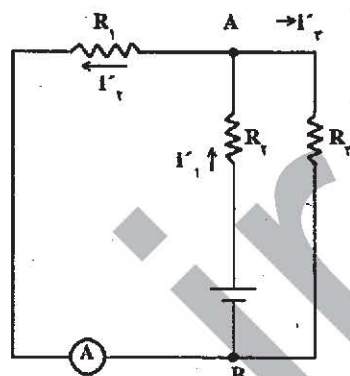
در شکل (۱۲ - ۵) مدار پس از عوض کردن جای مولد و آمپرسنچ نشان داده شده است.

در این مدار نیز رابطه‌های زیر برقرار است:

$$E = i'_1 R_2 + i'_2 R_1$$

$$i'_\gamma R_1 = i'_\beta R_\beta$$

$$i'_1 = i'_\gamma + i'_\beta$$



شکل (۱۲ - ۵)

از حل معادله‌های بالا داریم:

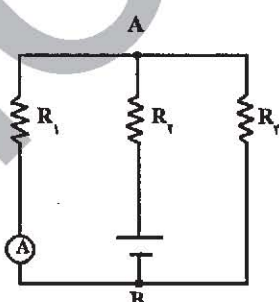
$$i'_1 = \frac{R_1 + R_\beta}{R_1 R_\beta + R_\gamma R_\beta + R_\gamma R_1} E \quad (۴ - ۵)$$

$$i'_\gamma = \frac{R_\beta}{R_1 R_\beta + R_\gamma R_\beta + R_\gamma R_1} E \quad (۵ - ۵)$$

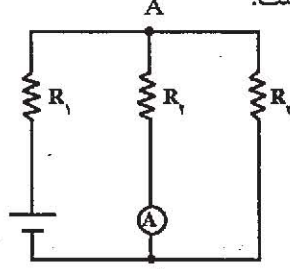
$$i'_\beta = \frac{R_1}{R_1 R_\beta + R_\gamma R_\beta + R_\gamma R_1} E \quad (۶ - ۶)$$

ملحوظه می‌شود که در دو حالت جریانی که آمپرسنچ نشان می‌دهد، یعنی  $i'_1$  و  $i'_\gamma$  ایکسان است.

این قسمت را می‌توان به روش دیگری هم حل کرد. در شکل‌های (۱۳ - ۵) و (۱۴ - ۵) مدار شکل‌های (۱۱ - ۵) و (۱۲ - ۵) با تغییری در ظاهر مدار رسم شده است ولی مدارها دقیقاً تکرار شده است.



شکل (۱۲ - ۵)



شکل (۱۳ - ۵)

آشکار است که اگر در مدار شکل (۱۳-۵) جای  $R_1$  و  $R_2$  را با هم عوض کنیم، دقیقاً مدار شکل (۱۴-۵) به دست می‌آید. بنابراین به جای عرض کردن باتری و آمپرسنچ، می‌توان  $R_1$  و  $R_2$  را با هم عوض کرد. در این صورت اگر در رابطه (۵-۵) به جای  $R_1$ ،  $R_2$  و به جای  $R_1$ ،  $R_2$  را قرار دهیم، جریان آمپرسنچ در حالت دوم به دست می‌آید. اگر این کار را انجام دهیم داریم:

$$i'_2 = \frac{R_3}{R_2 R_1 + R_1 R_3 + R_3 R_2} E$$

این جریان دقیقاً همان جریان قبلی است.  
پ - جریانهای مدار در حالت اول چنین است.

$$i_1 = \frac{3+4}{2 \times 3 + 3 \times 4 + 4 \times 2} \times 13 = 3/5$$

$$i_2 = \frac{4}{26} \times 13 = 2A$$

$$i_3 = \frac{3}{26} \times 13 = 1/5 A$$

۲ - این مسئله را از دو راه می‌توان حل کرد.

راه اول - قطعه‌ای از سیم به طول  $V_d$  را در نظر می‌گیریم. چون الکترونهای آزاد موجود در سیم به طور متوسط با سرعت  $v_d$  حرکت می‌کنند، پس از یک ثانیه، همه الکترونهای آزاد موجود در حجم قطعه انتخاب شده از مقطع  $S$  می‌گذرند. اگر الکترونهای آزاد موجود در این قطعه سیم را  $N$  فرض کنیم، پس از یک ثانیه، بالکتریکی که از مقطع  $S$  گذشته است،  $q=Ne$  خواهد بود که ۶ بار یک الکترون است. بنابراین جریان سیم از رابطه زیر به دست می‌آید.

$$I = \frac{q}{t} = \frac{Ne}{V_d} = Ne \quad (V-5)$$

از طرفی تعداد اتمهای مس در هر اتم گرم آن،  $N_A$ ، یعنی به اندازه عدد آلوگادرو است. حجم یک اتم گرم مس چنین است.

$$V_A = \frac{M}{\rho} = \frac{64}{9} = 7.11 \text{ cm}^3$$

اگر تعداد اتمهای موجود در واحد حجم را با  $n$  نشان دهیم، داریم:

$$n = \frac{N_A}{V_d} = \frac{6.02 \times 10^{23}}{7.11} = 0.85 \times 10^{23} \text{ اتم/cm}^3$$

چون به ازای هر اتم مس یک الکترون آزاد وجود دارد، پس تعداد الکترونها آزاد در واحد حجم نیز همان  $n$  است. تعداد کل الکترونها آزاد در قطعه سیم که دارای حجم  $SV_d$  است، برابر است با:

$$N = n SV_d = 0.85 \times 10^{23} \times 10^{-2} V_d \quad (8-5)$$

با استفاده از رابطه‌های (7-5) و (8-5) داریم:

$$I = n SV_d e$$

$$I = 0.85 \times 10^{23} \times 10^{-2} \times 1/6 \times 10^{-19} V_d$$

$$V_d = 1/47 \times 10^{-2} \text{ cm/s}$$

راه دوم - طول سیم را و زمانی که الکترون آزاد این طول را می‌پیماید؛ فرض کنیم. در این صورت داریم:

$$V_d = \frac{l}{t} \quad (9-5)$$

اگر جرم سیم  $m$  باشد داریم:

$$m = \rho V = \rho l S \rightarrow l = \frac{m}{\rho S} \quad (10-5)$$

در رابطه (10-5)  $\rho$  چگالی و  $S$  سطح مقطع سیم است. فرض می‌کنیم، در سیم مورد نظر  $n$  اتم گرم مس وجود داشته باشد. در این صورت تعداد اتمهای موجود در این سیم و در نتیجه تعداد الکترونها آزاد در آن، از رابطه زیر بدست می‌آید.

$$N = n N_A \rightarrow n = \frac{N}{N_A} \quad (11-5)$$

که در آن  $N_A$  عدد آووگادرو است. اگر اتم گرم مس را  $M$  فرض کنیم، داریم:

$$m = n M \quad (12-5)$$

اگر  $\mu$  را از رابطه (۱۱-۵) در رابطه (۱۲-۵) قرار دهیم و سپس  $m$  را در رابطه (۱۰-۵) بگذاریم و نتیجه را در رابطه (۵-۹) قرار دهیم داریم:

$$V_d = \frac{NM}{N_A \rho St} \quad (13-5)$$

اگر بارهای الکترون را  $e$  فرض کنیم، بارکل الکترونهای آزاد سیم چنین است.

$$q = Ne \quad (14-5)$$

اگر  $N$  را از رابطه (۵-۱۴) در رابطه (۱۳-۵) قرار دهیم داریم:

$$V_d = \frac{M}{N_A \rho Se} \frac{q}{t} \quad (15-5)$$

با توجه به اینکه در مدت  $t$  که الکترونهای آزاد طول سیم را می‌پیمایند، تمام الکترونهای آزاد موجود در سیم، از مقطع آن گذشته‌اند،  $\frac{q}{t}$  همان جریان I است و داریم:

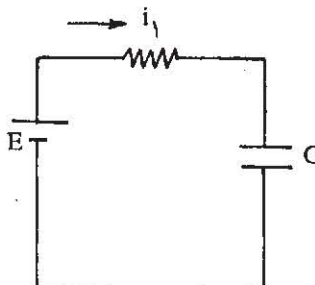
$$V_d = \frac{M}{N_A \rho Se} I \quad (16-5)$$

با گذاردن مقادیر عددی در رابطه (۱۶-۵)، داریم:

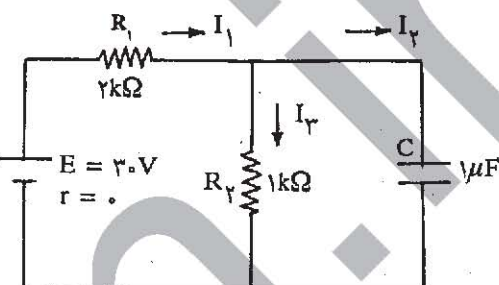
$$V_d = -\frac{64}{6 \times 10^{-3} \times 9 \times 10^{-2} \times 1/6 \times 10^{-19}} \times 2 = 1/48 \times 10^{-2} \text{ cm/s}$$

۳ - مدار مورد نظر در شکل (۱۵-۵) رسم شده است. هنگامی که کلید ۲ را می‌بندیم، بارهای الکتریکی مثبت از قطب مثبت پیل به طرف مقاومت  $R_2$  و خازن به راه می‌افتد. (آنچه واقعاً در مدار جریان دارد، الکترونها با بار منفی هستند که در خلاف جهت جریان حرکت می‌کنند، ولی در بررسی ما تفاوتی نمی‌کند که بارهای مثبت در جهت جریان حرکت کنند) چون خازن به تدریج پر می‌شود، باید بارهای الکتریکی مثبت به طرف صفحه بالای خازن بروند و در نتیجه در شاخه‌ای که خازن وجود دارد، جریان الکتریکی داریم، یعنی  $I_2$  صفر نیست. به تدریج با انبساط شدن بارهای الکتریکی روی خازن، اختلاف پتانسیل آن بالا

می‌رود و جریانی که خازن را پر می‌کند، کمتر می‌شود. می‌توان گفت بارهای الکتریکی مثبت روی صفحه بالایی، با انباسته شدن بیشتر، با آمدن بارهای مثبت بعدی مخالفت می‌کنند و حرکت آنها را کنده‌تر می‌کنند، یعنی جریان  $I_1$  به تدریج کم می‌شود. تغییرات جریان  $I_1$  بر حسب زمان که در صورت مسئله آمده است و در شکل (۱۷-۵) نیز رسم شده است، همین روند را نشان می‌دهد.



شکل (۱۶-۵)



شکل (۱۵-۵)

الف - در لحظه  $t = 0$  کلید را می‌بندیم، بار خازن و در نتیجه اختلاف پتانسیل آن صفر است. چون مقاومت  $R_2$  با خازن به طور موازی قرار دارد، پس در لحظه  $t = 0$  اختلاف پتانسیل  $V_3$  نیز صفر است و در نتیجه جریانی که از آن می‌گذرد نیز صفر است. در این صورت در لحظه  $t = 0$ ، مدار مانند شکل (۱۶-۵) است و همان جریانی که از  $R_1$  می‌گذرد، از خازن نیز عبور می‌کند.

در این مدار داریم:

$$E = I_1 R_1 + V_c$$

$$t = 0 \rightarrow E = I_0 R_1 + 0$$

$$I_0 = \frac{30}{2 \times 10^3} = 15 \text{ mA}$$

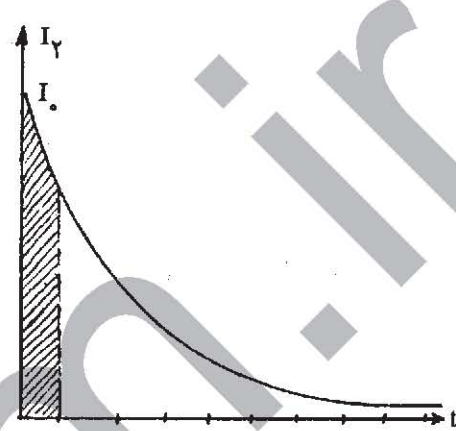
ب - نمودار تغییرات جریان  $I_1$  بر حسب زمان در شکل (۱۷-۵) رسم شده است. در لحظه  $t$ ، اختلاف پتانسیل دو سر خازن برابر با  $\frac{30}{2}$  است که بار الکتریکی خازن است که از لحظه بستن کلید تا لحظه  $t$  روی صفحات آن جمع شده است. چون اختلاف پتانسیل دو سر

مقاومت  $R_2$  با اختلاف پتانسیل دو سر خازن برابر است، پس:

$$I_3 = \frac{V_c}{R_2} = \frac{q}{CR_2} = \frac{q}{10^{-6} \times 10^3} = 10^3 q$$



شکل (۱۸-۵)



شکل (۱۷-۵)

بنابراین برای یافتن  $I_3$  در هر لحظه، مثلاً، باید بار الکتریکی را که تا آن لحظه روی خازن جمع شده است، به دست آورد. در مدت کوتاه  $\Delta t$  پس از بستن کلید، می‌توان فرض کرد که جریان  $I_2$ ، تقریباً برابر با  $I_3$  است، در این مدت بار خازن به اندازه  $I_2 \Delta t$  خواهد بود که تقریباً برابر با مساحت اولین ستون سمت چپ نمودار شکل (۱۷-۵) است. با گذشت زمان بار خازن به اندازه مساحت سطوحی بعدی زیر نمودار جریان  $I_3$  تا آن لحظه است. نمودار تغییرات جریان  $I_3$  بر حسب زمان در شکل (۱۸-۵) رسم شده است.

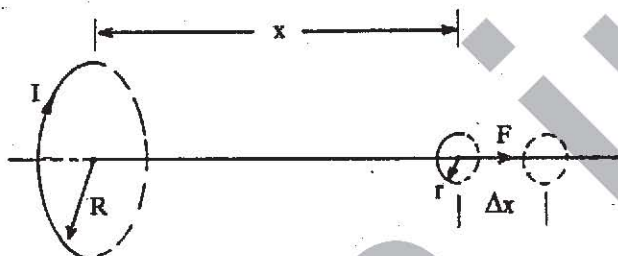
پس از گذشت مدت طولانی خازن پر می‌شود و بار الکتریکی آن ثابت می‌ماند. از این پس جریان  $I_3 = I_1 = I_0$  خواهد بود و داریم:

$$I_3 = I_1 = \frac{E}{R_1 + R_2} = \frac{30}{3 \times 10^3} = 10 \text{ mA}$$

اگر در شکل (۱۷-۵) محور زمان بر حسب ثانیه مدرج شده بود، مساحت زیر منحنی یعنی بار خازن، بر حسب آمپر ثانیه (یا میلی آمپر ثانیه) یعنی کولن (یا میلی کولن) به دست می‌آمد

و ها برحسب آمپر (یا میلی آمپر) تعیین می شد. ولی چون محور زمان برحسب یک واحد اختیاری مدرج شده است، بار بر حسب کولن و جریان برحسب آمپر نیست.

۴- الف - چون میدان مغناطیسی در سطح حلقه کوچک یکنواخت و عمود بر سطح حلقه است، شار مغناطیسی که از سطح حلقه می گذرد چنین است. (به شکل ۱۹-۵ نگاه کنید)



شکل (۱۹-۵)

$$\varphi = BA = \frac{\mu_0 IR^2}{2\sqrt{(x^2 + R^2)^3}} \times \pi r^2 \quad (17-5)$$

ب - چون  $x \ll \Delta x$  است، پس  $\frac{\Delta \varphi}{\Delta x}$  تقریباً با مشتق  $\varphi$  نسبت به  $x$  برابر است و داریم:

$$\frac{\Delta \varphi}{\Delta x} = \frac{\mu_0 IR^2 \pi r^2}{2} \times \frac{-3x}{\sqrt{(x^2 + R^2)^5}}$$

$$\Delta \varphi = \frac{-3\mu_0 \pi r^2 IR^2 x}{2\sqrt{(x^2 + R^2)^5}} \Delta x$$

علامت منفی، نشاندهنده کاهش شار مغناطیسی است.

ج - نیروی حرکة القایی در حلقه کوچک چنین است.

$$E = -\frac{\Delta \varphi}{\Delta t} = \frac{3\mu_0 \pi r^2 IR^2 x}{2\sqrt{2(x^2 + R^2)^5}} \frac{\Delta x}{\Delta t} \quad (18-5)$$

د - بنا به تعریف نیروی حرکة الکتریکی، کار انجام شده روی واحد بار الکتریکی است،

هنگامی که واحد بار یک دور کامل در مدار می‌چرخد. بنابراین داریم:

$$E = \frac{W}{q}$$

$$W = qE = \frac{3\mu_0\pi r^2 I R^2 x q}{2\sqrt{2(x^2 + R^2)^5}} \frac{\Delta x}{\Delta t}$$

۵- عامل خارجی برای جابجایی حلقه کوچک باید به آن نیرویی به طرف راست وارد کند، زیرا جابجایی حلقه کوچک همراه با تغییر شار و القای نیروی محرکه است و مطابق قانون لنز، باید با عامل خارجی مخالفت شود. پس عامل خارجی نمی‌تواند آزادانه حلقه کوچک را جابجایی کند. اگر عامل خارجی نیروی  $F$  را بر حلقه وارد کرده باشد، کاری که روی حلقه انجام می‌دهد، معادل همان انرژی الکتریکی است که در حلقه کوچک ظاهر می‌شود. داریم:

$$W = F \Delta x$$

$$F = \frac{W}{\Delta x} = \frac{3\mu_0\pi r^2 I R^2 x q}{2\Delta t \sqrt{(x^2 + R^2)^5}}$$

و - با توجه به این که زمان جابجایی  $\Delta t$  بسیار کوچک است،  $\frac{\Delta \varphi}{\Delta t}$  تقریباً با مشتق  $\varphi$  نسبت به  $t$  برابر است. در رابطه (۱۷-۵)، تنها کمیت متغیر، شدت جریان I است. داریم:

$$\frac{\Delta \varphi}{\Delta t} = \frac{\mu_0\pi r^2 R^2}{2\sqrt{(x^2 + R^2)^3}} \frac{\Delta I}{\Delta t}$$

بنابراین نیروی محرکه القایی در اثر تغییر جریان، چنین است:

$$E = -\frac{\mu_0\pi r^2 R^2}{2\sqrt{(x^2 + R^2)^3}} \frac{\Delta I}{\Delta t} \quad (19-5)$$

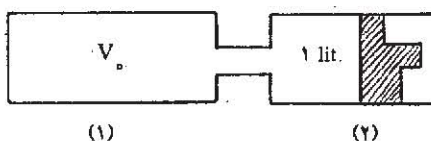
از تساوی رابطه‌های (۱۸-۵) و (۱۹-۵) داریم:

$$\Delta I = \frac{-3Ix}{x^2 + R^2} \Delta x$$

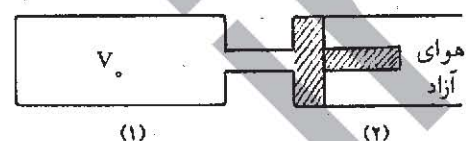
علامت منفی نشاندهنده آن است که با افزایش  $x$  ( $x > 0$ ، باید جریان کاهش باید ( $\Delta I < 0$ ). این نتیجه کاملاً آشکار است، زیرا با افزایش  $x$  شار مغناطیسی که از حلقه کوچک

می‌گذرد کم می‌شود و اگر بخواهیم، تغییر شار مغناطیسی با تغییر جریان حلقه بزرگ پدید آید، باید جریان حلقه بزرگ را کاهش دهیم.

۵ - وضعیت پیستون در دو حالت در شکل‌های (۱) - (۲۰) و (۲۱ - ۲۰) نشان داده شده است. چون یک طرف پیستون هوای آزاد است، پس باید در شکل (۲۰ - ۵) طرف دیگر آن نیز فشار، برایر با فشار هوای آزاد،  $P_{\text{آزاد}}$  باشد.



شکل (۲۱ - ۵)



شکل (۲۰ - ۵)

راه اول - دمای آب داغ را  $T_1$  فرض می‌کنیم. اگر دمای همه گاز داخل مخزن ۱ در فشار ثابت از  $273^{\circ}$  به  $T_1$  برسد، حجم آن  $V$  چنین خواهد بود:

$$\frac{V}{T_1} = \frac{V_1}{T_0}$$

$$V = \frac{4 \times T_1}{273} \text{ lit}$$

بعشی از گاز در مخزن ۱ مانده و مابقی به مخزن ۲ می‌رود. حجم گاز وارد شده به مخزن ۲ در دمای  $T_1$  چنین است:

$$V' = V - V_0 = \frac{4 \times T_1}{273} - 4$$

$$V' = 4 \left( \frac{T_1}{273} - 1 \right)$$

اگر این مقدار گاز به دمای  $T_0$  برود، باید حجم آن  $1 \text{ lit.}$  شود. پس داریم:

$$\frac{V'}{T_1} = \frac{V_2}{T_0} = \frac{1}{273}$$

$$\frac{4 \left( \frac{T_1}{273} - 1 \right)}{T_1} = \frac{1}{273}$$

$$4(T_1 - 273) = T_1$$

$$\gamma T_1 = 1092$$

$$T_1 = 364^\circ K \rightarrow \theta_1 = 91^\circ C$$

راه دوم - چون گاز داده شده به مخزن ۲ همان شرایط اولیه گاز مخزن ۱ را دارد، پس گاز باقیمانده در مخزن ۱، معادل  $3lit$  در دمای  $T$  است. این مقدار گاز در دمای  $T_1$ ، همه مخزن ۱ را پر کرده است. پس:

$$\frac{V}{T_1} = \frac{V_0 - 1}{T_0} = \frac{3}{T_0}$$

$$T_1 = \frac{V_0 T_0}{3} = \frac{4 \times 273}{3} = 364^\circ K \quad \theta_1 = 91^\circ C$$

۶- ابتدا فرض می‌کنیم خط کش بر اثر تغییر دما منبسط نمی‌شود. اگر در دمای صفر ارتفاع مایع را  $h$  و سطح مقطع ظرف شیشه‌ای را  $A$  فرض کنیم، داریم:

$$V_0 = h A_0$$

در دمای  $\theta = 0^\circ C$ ، حجم مایع و سطح مقطع ظرف شیشه‌ای زیاد می‌شود و داریم:

$$V = V_0 (1 + a \theta)$$

$$A = A_0 (1 + 2\lambda_2 \theta)$$

$$h = \frac{V}{A} = \frac{V_0 (1 + a \theta)}{A_0 (1 + 2\lambda_2 \theta)} = h_0 \cdot \frac{1 + a \theta}{1 + 2\lambda_2 \theta}$$

در دمای  $\theta$ ، خط کش نیز منبسط شده است و در نتیجه هر تقسیم‌بندی آن بزرگتر شده است. بنابراین در دمای  $\theta$  طول ستون مایع با این خط کش کمتر از مقدار واقعی بدست آمده است. اگر هر تقسیم‌بندی خط کش در دمای صفر برابر با  $1$  و در دمای  $\theta$  برابر با  $1$  باشد، داریم:

$$1 = 1_0 (1 + \lambda_1 \theta)$$

$$1_0 = \frac{1}{1 + \lambda_1 \theta}$$

برای آنکه مقدار واقعی ارتفاع ستون مایع را در دمای  $\theta$  به دست آوریم، باید عددی را که روی خط کش منبسط شده خوانده‌ایم، در نسبتی که هر درجه بزرگتر شده است ضرب کنیم،

بنابراین داریم:

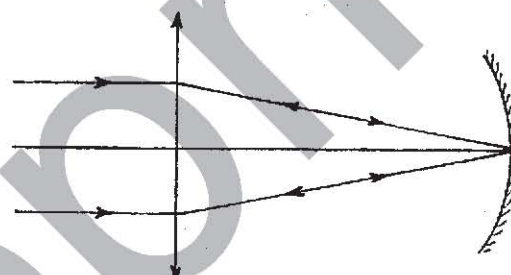
$$\frac{43}{2}(1 + \lambda_1 \theta) = h_0 \cdot \frac{1 + a\theta}{1 + 2\lambda_2 \theta}$$

$$h_0 = \frac{(1 + \lambda_1 \theta)(1 + 2\lambda_2 \theta)}{1 + a\theta} \times \frac{43}{2}$$

$$h_0 = \frac{1 + (\lambda_1 + 2\lambda_2)\theta}{1 + a\theta} \times \frac{43}{2}$$

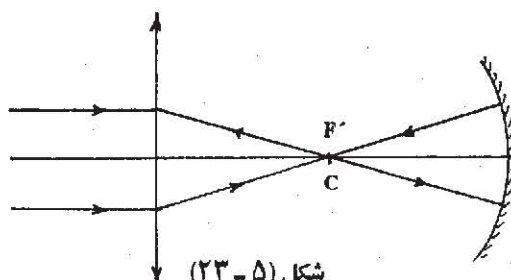
$$h_0 = \frac{1 + (2 \times 0/8 + 1/2) \times 10^{-5} \times 50}{1 + 1/6 \times 10^{-3} \times 50} \times \frac{43}{2} = 40.0 \text{ cm}$$

در رابطه بالا از  $\lambda_1 \lambda_2$  در برابر  $\lambda_1 + 2\lambda_2$  به علت کوچکی آن چشم پوشیده ایم.  
 ۷ - الف - عدسی و آینه را در دو حالت می توان قرار داد. پرتوهای نور در دو حالت در شکل‌های (۵ - ۲۲) و (۵ - ۲۳) رسم شده است. برای توضیحات مربوط به مسئله، به پاسخ سؤال چهارگزینه‌ای شماره ۲۷ دومین المپیاد، صفحه ۱۲۳ مراجعه شود.



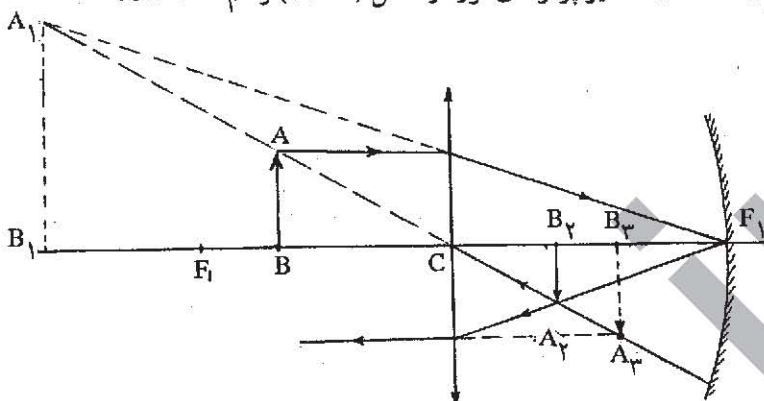
شکل (۲۲ - ۵)

در شکل (۵ - ۲۲) کانون عدسی بر رأس آینه منطبق است. در این حالت فاصله عدسی از آینه،  $f_1 = d_1 = 1 \text{ m}$  است. در شکل (۵ - ۲۳)، کانون عدسی بر مرکز آینه منطبق است. در این حالت فاصله عدسی از آینه،  $f_1 = d_2 = 2 \text{ m}$  است.



شکل (۲۳ - ۵)

ب - در حالت اول مسیر پرتوهای نور در شکل (۲۴-۵) رسم شده است.



شکل (۲۴-۵)

از جسم  $AB$  در عدسی یک تصویر مجازی  $A_1B_1$  تشکیل می‌شود. فاصله این تصویر از عدسی چنین است:

$$\frac{1}{P_1} + \frac{1}{q_1} = \frac{1}{f_1}$$

$$\frac{1}{q_1} = \frac{1}{100} - \frac{1}{60} \rightarrow q_1 = \frac{60 \times 100}{60 - 100} = -150 \text{ cm}$$

علامت منفی نشاندهنده تصویر مجازی است. از شکل (۲۴-۵) پیداست که  $A_1B_1$  برای آینه، به عنوان یک جسم حقیقی به حساب می‌آید. از این جسم حقیقی که فاصله آن تا آینه  $p_2 = 150 + 100 = 250 \text{ cm}$  است، تصویر  $B_2$  در آینه تشکیل می‌شود که فاصله آن  $q_2$  چنین است.

$$\frac{1}{q_2} = \frac{1}{f_2} - \frac{1}{p_2} = \frac{1}{50} - \frac{1}{250}$$

$$q_2 = \frac{250}{50 - 1} = 62.5 \text{ cm}$$

تصویر  $B_2$  برای عدسی به عنوان جسم حقیقی به حساب می‌آید و چون در فاصله کانونی عدسی است، تصویر مجازی  $A_3B_3$  در عدسی تشکیل می‌شود. فاصله  $A_3B_3$  تا عدسی،  $P_3$  است و داریم:

$$P_3 = 100 - 62.5 = 37.5 \text{ cm}$$

$$\frac{1}{q_3} = \frac{1}{f_1} - \frac{1}{p_3} = \frac{1}{100} - \frac{1}{37.5}$$

$$q_3 = \frac{100 \times 37.5}{37.5 - 100} = -60 \text{ cm}$$

آخرین تصویر از عدسی ۶۰ cm فاصله دارد و علامت منفی نشان‌دهنده مجازی بودن آن است.

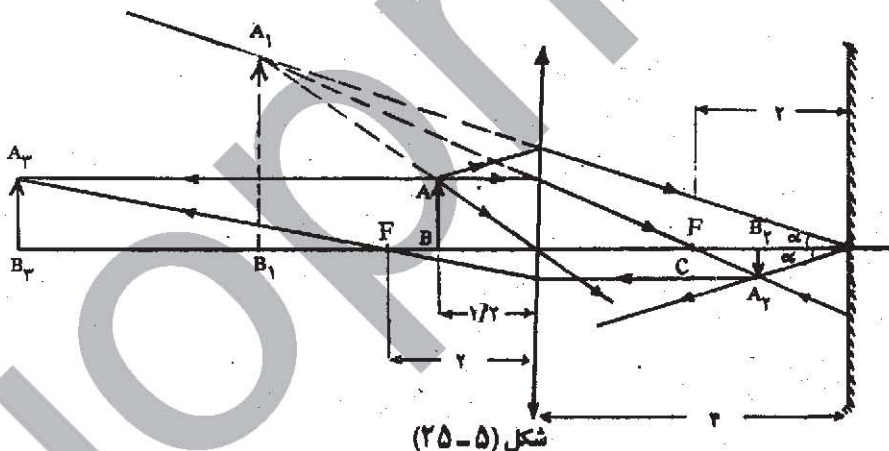
بزرگنمایی دستگاه در این حالت چنین است:

$$\gamma = \frac{A_3 B_3}{AB} = \frac{A_3 B_3}{A_2 B_2} \times \frac{A_2 B_2}{A_1 B_1} \times \frac{A_1 B_1}{AB} = \frac{q_3}{p_3} \times \frac{q_2}{p_2} \times \frac{q_1}{p_1}$$

$$\gamma = \frac{-60}{37.5} \times \frac{62.5}{25} \times \frac{-100}{60} = \frac{-8}{5} \times \frac{1}{4} \times \frac{-5}{2} = 1$$

علامت مثبت برای بزرگنمایی نشان‌دهنده وارونه بودن تصویر نهایی نسبت به جسم است.

مسیر پرتوهای نور در حالت دوم در شکل (۲۵-۵) رسم شده است.



از جسم AB تصویر A<sub>1</sub>B<sub>1</sub> در عدسی تشکیل می‌شود. فاصله این تصویر از عدسی چنین است.

$$\frac{1}{q_1} = \frac{1}{f_1} - \frac{1}{p_1} = \frac{1}{100} - \frac{1}{60}$$

$$q_1 = \frac{100 \times 60}{60 - 100} = -150 \text{ cm}$$

مانند حالت قبل این تصویر، برای آینه به عنوان یک جسم حقیقی به حساب می‌آید. از این

جسم حقیقی که در فاصله  $A_2 B_2 = 150 + 200 = 350 \text{ cm}$  است، تصویر  $A_2 B_2$  در آینه تشکیل می‌شود. فاصله این تصویر از آینه،  $q_2$  چنین است:

$$\frac{1}{q_2} = \frac{1}{f_2} - \frac{1}{p_2} = \frac{1}{50} - \frac{1}{350}$$

$$q_2 = \frac{350}{50 - 1} = \frac{175}{3} \text{ cm}$$

تصویر  $A_2 B_2$  خارج فاصله کانونی عدسی است و برای عدسی مانند یک جسم حقیقی به فاصله  $p_3 = 200 - \frac{175}{3} = \frac{425}{3} \text{ cm}$  است.

تصویر نهایی در عدسی در فاصله  $q_3$  تشکیل می‌شود و داریم:

$$\frac{1}{q_3} = \frac{1}{f_1} - \frac{1}{p_3} = \frac{1}{100} - \frac{1}{\frac{425}{3}}$$

$$q_3 = \frac{\frac{425}{3} \times 100}{\frac{425}{3} - 300} = 340 \text{ cm}$$

آشکار است که تصویر نهایی حقیقی است.

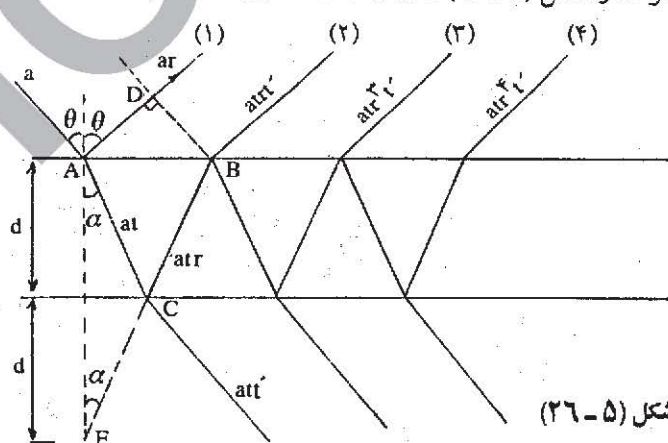
برای محاسبه بزرگنمایی در این حالت، داریم:

$$\gamma = \frac{q_3}{p_3} \times \frac{q_2}{p_2} \times \frac{q_1}{p_1} = \frac{\frac{340}{3}}{\frac{425}{3}} \times \frac{\frac{175}{3}}{\frac{350}{3}} \times \frac{-150}{60}$$

$$\gamma = \frac{12}{5} \times \frac{1}{6} \times \frac{-5}{3} = -1$$

علامت منفی نشان دهنده مستقیم بودن جسم و تصویر نهایی تسبیت به هم است

۸- مسیر پرتوها در شکل (۲۶-۵) نشان داده شده است.



الف - از نقطه B، محل خروج پرتو ۲ خطی بر پرتو ۱ عمود می‌کنیم. دو پرتو ۱ و ۲ تا نقطه A مشترک هستند. از آن پس، پرتو ۱ مسیر AD را در هوا و پرتو ۲ مسیر ACB را در شیشه پیموده است. اگر پرتو BC را امتداد داده تا خط عمود بر سطح تیغه را در نقطه E قطع کند، آشکار است که مسیر ACB با مسیر EB برابر است. پرتو ۱ پس از نقطه A و پرتو ۲ پس از نقطه B مسیر مشابهی را در هوا می‌پیمایند. بنابراین اختلاف راه دو پرتو ۱ و ۲ تنها مربوط به اختلاف دو تکه AD و EB است. سرعت نور را در خلاء C و در شیشه V فرض می‌کنیم. اگر نور مسیر AD را در هوا در  $t_1$  و مسیر EB را در شیشه در  $t_2$  پیماید، داریم:

$$t_1 = \frac{AD}{C}$$

$$t_2 = \frac{BE}{V}$$

$$AD = AB \sin \theta = 2d \tan \alpha \sin \theta = 2d \frac{\sin \alpha \cos \theta}{\cos \alpha}$$

$$BE = \frac{AB}{\sin \alpha} = \frac{2d \tan \alpha}{\sin \alpha} = \frac{2d}{\cos \alpha}$$

$$t_2 - t_1 = \frac{2d}{\cos \alpha} \left[ \frac{1}{V} - \frac{\sin \alpha \sin \theta}{C} \right]$$

$$\text{چون } n = \frac{C}{V} \text{ و نیز } \frac{\sin \theta}{\sin \alpha} = n, \text{ پس داریم:}$$

$$t_2 - t_1 = \frac{2d}{C \cos \alpha} [n - \sin \alpha \sin \theta]$$

$$= \frac{2d}{C \cos \alpha} [n - \sin \alpha (n \sin \theta)]$$

$$= \frac{2nd}{C \cos \alpha} = (1 - \sin^2 \alpha) = \frac{2nd \cos \alpha}{C}$$

ب - از شکل پیداست که دامنه پرتوهای ۲ به بعد، یک تصاعد هندسی با قدر نسبت  $\sqrt[n]{r}$  و جمله اولیه  $a_{n+1}$  می‌سازند. چون  $1 < r$  است، پس مجموع جملات تصاعد هندسی در حد چنین است:

$$A = \frac{a_{n+1} r^n}{1 - r}$$

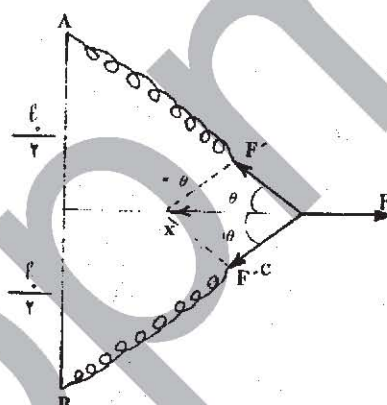
ج - اگر دامنه پرتو ۱ را با مجموع دامنه‌های پرتوهای ۲ به بعد برابر قرار دهیم داریم:

$$A = ar \rightarrow \frac{at + t'}{1 - r^2} = ar$$

$$1 - r^2 = tt'$$

۹ - هونیمه فنر دارای طول  $\frac{l}{3}$  است. چون طول فنر نصف شده است، ثابت هونیمه ۲ برابر شده است. (برای توضیحات بیشتر درباره این مطلب، به پاسخ سؤال چهار گزینه‌ای شماره ۳، دومین المپیاد، صفحه ۱۰۴ مراجعه شود) بنابراین می‌توان فرض کرد دو فنر به طول  $\frac{l}{3}$  و ثابت  $k$  را به هم متصل کرده و میان دو نقطه A و B بسته‌ایم.

الف - در حالت اول فنرها طول عادی خود را دارند. هنگامی که محل اتصال دو فنر را به اندازه  $x$  می‌کشیم، افزایش طول هر کدام را استفاده از شکل (۲۷-۵) چنین است.



شکل (۲۷-۵)

$$\Delta l = \sqrt{\left(\frac{l}{3}\right)^2 + x^2} - \frac{l}{3}$$

نیروی کشش فنرها که در شکل با  $F$  نشان داده شده است، چنین است.

$$F = k \Delta l = 2k \cdot \left[ \sqrt{\frac{l^2}{9} + x^2} - \frac{l}{3} \right]$$

چون فنرها به همان حالت نگاهداشته می‌شوند، باید برآیند نیروهای وارد بر محل اتصال

فرازها صفر باشد. از شکل پیداست که:

$$F = \sqrt{F^2 \cos^2 \theta} = k \cdot \left[ \sqrt{\frac{l^2}{4} + x^2} - \frac{l}{2} \right] \cdot \frac{x}{\sqrt{\frac{l^2}{4} + x^2}}$$

$$F = k \cdot x [1 - \sin \theta]$$

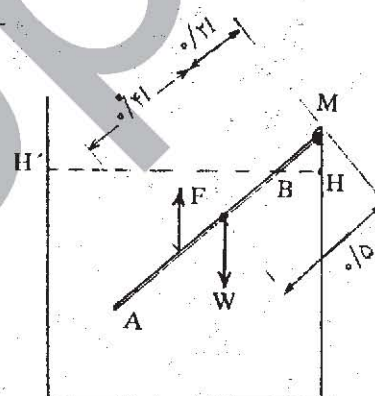
پ - انرژی پتانسیل ذخیره شده در هر تیمه فراز چنین است.

$$U_1 = \frac{1}{2} k \cdot (\Delta l)^2 = k \cdot \left[ \sqrt{\frac{l^2}{4} + x^2} - \frac{l}{2} \right]^2$$

کاری که شخص برای کشیدن فرازها انجام داده است، به صورت انرژی پتانسیل در فرازها ذخیره شده است. پس داریم:

$$W = 2U_1 = 2k \cdot \left[ \sqrt{\frac{l^2}{4} + x^2} - \frac{l}{2} \right]^2$$

۱۰ - مطابق شکل (۲۸-۵) نیروی وزن  $W$  از نقطه وسط  $AM$  و نیروی ارشمیدس  $F$  از نقطه وسط  $AB$  بر میله وارد می شود. چون میله در حال تعادل است، باید گشتاور نیروهای وارد بر آن به دور محوری که از نقطه  $M$  می گذرد، صفر باشد. داریم:



شکل (۲۸-۵)

$$W \times \circ/51 - F \times (\circ/4 + \circ/2)l = 0$$

برای نیروهای وارد بر میله داریم:

$$W = \rho s l g$$

$$F = \rho' s (\sigma/\lambda) l g$$

در نتیجه داریم:

$$\sigma / \Delta \rho l^2 s g = \sigma / \lambda \rho' l^2 s g$$

$$\sigma_{m/gk} \cdot 89 = 0.001 \times 89/0 = \rho$$